

## ПРОСТРАНСТВЕННАЯ МОДЕЛЬ КОЛЕБАНИЙ И ОГРАНИЧЕНИЕ СРЕДНЕЙ СКОРОСТИ ВИБРОНАГРУЖЕННОСТЬЮ

© 2006 М. А. Карунин

Московский государственный технический университет «МАМИ»

В статье описывается пространственная модель колебаний машины, учитывающая колебания как в продольной, так и в поперечной плоскостях. В результате решения системы уравнений определяются перемещения, скорость и ускорения подрессоренной массы машины. Допустимая средняя скорость ограничивается по условиям вибронагруженности.

Движение по неровной опорной поверхности вызывает колебания подрессоренной и непрорессоренной частей машины, что приводит к ухудшению плавности хода. В общем случае подрессоренная часть при колебаниях может перемещаться вдоль трех координатных осей или вращаться вокруг них, т. е. имеет шесть степеней свободы.

Непрорессоренные части (колеса, опорные катки) перемещаются в основном в вертикальном направлении, а другие их перемещения незначительны.

Наиболее существенными и определяющими плавность хода являются вертикальные, продольные, продольно-угловые, поперечные и поперечно-угловые колебания подрессоренной массы, в результате которых

возникают вертикальные ( $\mathfrak{E}$ ), продольные ( $\mathfrak{E}$ ) и поперечные ( $\mathfrak{E}$ ) ускорения.

Расчетные схемы колебаний колесной и гусеничной машины показаны на рис. 1 и 2 [1].

Параметры колебаний колесной машины определяются деформациями упругих элементов подвесок колес правой  $\Delta p_n$  и левой  $\Delta p_l$  сторон

$$\Delta p_{n(l)i} = x_{n(l)i} - z - Q l_i - \frac{yB}{2}$$

и деформациями шин  $\Delta_{uni}$  и  $\Delta_{ули}$

$$\Delta_{un(l)i} = q_{n(l)i} - x_{n(l)i},$$

а также скоростью этих деформаций.

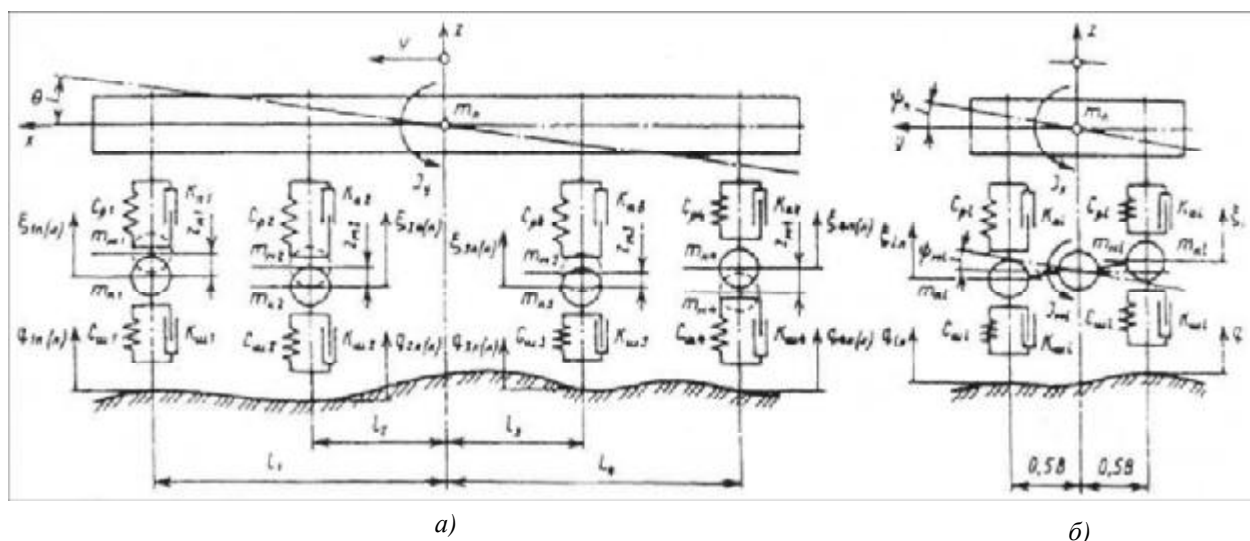


Рис. 1. Колебательная система колесной машины  
а - в продольной плоскости;  
б - в поперечной плоскости

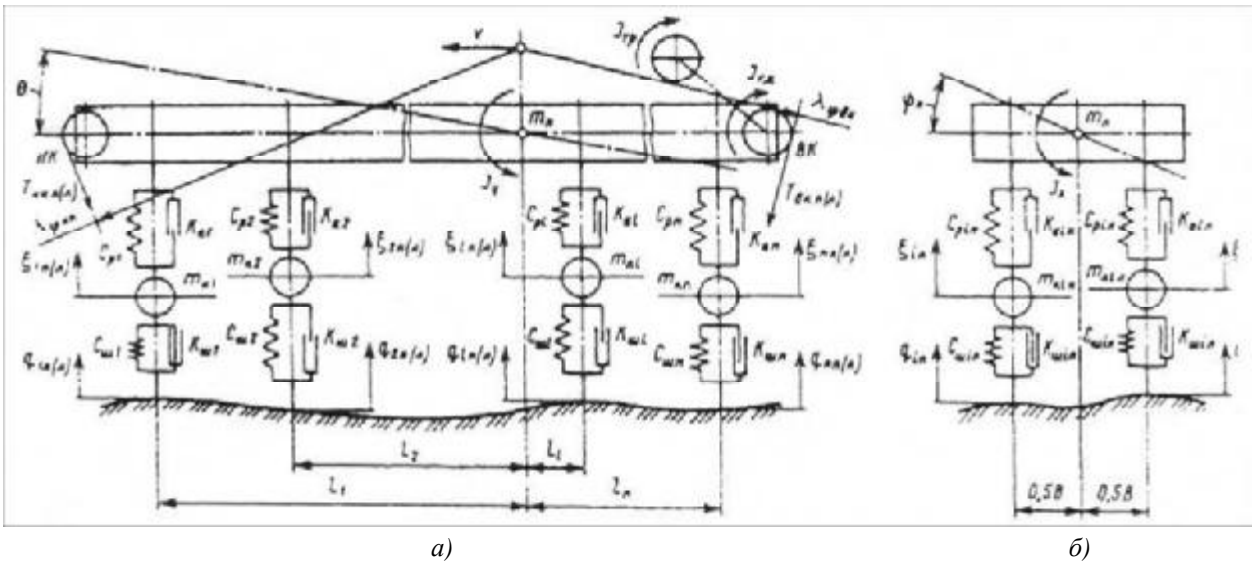


Рис. 2. Колебательная система гусеничной машины  
 а - в продольной плоскости;  
 б - в поперечной плоскости

При этом между перемещениями колес левой и правой стороны при зависимой подвеске колес существует связь

$$z_m = \frac{q_{ni} - x_{ni} + q_{li} - x_{li}}{2} = x_{n(l)i} \pm y_n \frac{B}{2}.$$

В результате деформаций возникают силы между подрессоренной массой и колесами

$$p_{pi} = c_{pi} (x_i - z - Ql_i - \frac{y_n B}{2});$$

$$p_{ai} = k_{ai} (x_i - z - Ql_i - \frac{y_n B}{2});$$

между колесами и опорной поверхностью

$$p_{wi} = c_{wi} (q_i - x_i);$$

$$p_{ua_i} = k_{ui} (q_i - x_i).$$

Здесь  $c_{pi}$  - приведенная к колесу жесткость упругого элемента подвески;  $c_{wi}$  - жесткость шины;  $k_{ai}$  - приведенный к колесу коэффициент сопротивления амортизатора;  $k_{ui}$  - коэффициент демпфирования шины.

Для расчетной схемы, представленной на рис. 1, и принятых в качестве обобщенных координат  $Z, Q, y_{n(m)}$  и  $x_i$  значения соответствующих функций, подставляемых в уравнение Лагранжа второго рода, будут иметь следующий вид:

кинетическая энергия

$$T = \frac{1}{2} \left( m_n \dot{z}^2 + J_y \dot{Q}^2 + J_x y_n^2 + J_M y_M^2 + \sum_{i=1}^{2n} m_{k_i} \dot{x}_i^2 + \sum_{i=1}^n m_{m_i} \dot{x}_i^2 \right) \quad (1)$$

потенциальная энергия

$$\begin{aligned} \Pi = & \sum_{i=1}^n c_{pi} \left( x_i - z - Ql_i - \frac{y_n B}{2} \right)^2 + \\ & + \sum_{i=1}^n c_{wi} (q_i - x_i)^2 + m_n g z + \sum_{i=1}^n (2m_{k_i} + m_{m_i}) z_{m_i} g, \end{aligned} \quad (2)$$

$$i_{n(n)} = \overline{1, n};$$

функция рассеивания

$$\Phi = \sum_{i=1}^n \left[ k_{ai} \left( x_i - z - Ql_i - \frac{y_n B}{2} \right)^2 + \sum_{i=1}^n k_{ui} (q_i - x_i)^2 \right], \quad (3)$$

$$i_{n(n)} = \overline{1, n}.$$

Обобщенные силы при выбранных обобщенных координатах вследствие динамического равновесия подсистем будут равны нулю.

Подстановка выражений в уравнение Лагранжа позволяет получить систему дифференциальных уравнений:

$$\begin{aligned}
 m_n \ddot{z} + \sum_{i=1}^n k_{a_i} (2z + 2ql_i - x_{n_i} - x_{l_i}) + \\
 \sum_{i=1}^n c_{p_i} (2z + 2ql_i - x_{n_i} - x_{l_i}) + m_n g = 0; \\
 J_y \ddot{\varphi} + \sum_{i=1}^n k_{a_i} (2z + 2ql_i - x_{n_i} - x_{l_i}) l_i + \\
 \sum_{i=1}^n c_{p_i} (2z + 2ql_i - x_{n_i} - x_{l_i}) l_i = 0; \\
 J_x \ddot{\psi} + \frac{B}{2} \sum_{i=1}^n k_{a_i} (2By_n + x_{n_i} + x_{l_i}) + \\
 \sum_{i=1}^n c_{p_i} (2By_n + x_{n_i} + x_{l_i}) = 0;
 \end{aligned} \tag{4}$$

$$\begin{aligned}
 (m_{m_i} + m_{k_i}) \frac{\ddot{x}_{n_i} + \ddot{x}_{l_i}}{2} + k_{u_i} (\varphi_{n_i} + \varphi_{l_i} - x_{n_i} - x_{l_i}) + \\
 + k_{a_i} (2z + 2ql_i - x_{n_i} - x_{l_i}) + c_{u_i} (q_{n_i} + q_{l_i} - x_{n_i} - x_{l_i}) + \\
 + c_{p_i} (2z + 2ql_i - x_{n_i} - x_{l_i}) + (m_{m_i} + m_{k_i}) g = 0;
 \end{aligned}$$

$$\begin{aligned}
 J_{m_i} \frac{\ddot{x}_{n_i} + \ddot{x}_{l_i}}{2} + \frac{B}{2} [c_{u_i} (q_{n_i} + q_{l_i} - x_{n_i} - x_{l_i}) + \\
 + k_{u_i} (\varphi_{n_i} + \varphi_{l_i} - x_{n_i} - x_{l_i}) - c_{p_i} (y_n B + x_{n_i} + x_{l_i}) - \\
 - k_{a_i} (y_n B + x_{n_i} + x_{l_i})] = 0,
 \end{aligned}$$

$i = \overline{1, n}$ ,

которая совместно с уравнениями связи и составляет пространственную математическую модель колебаний многоцелевой колесной машины.

Анализ этой пространственной модели представляет значительные трудности, особенно если учесть, что коэффициенты жесткости и демпфирования нелинейные, а  $q_i$  -

случайная функция. Поэтому на практике часто используют плоские модели с рядом допущений, что обеспечивает получение результатов, достаточно близких к действительным. Так, для трехосной колесной машины с балансирной задней тележкой (наиболее распространенная схема) математическая модель колебаний в продольной плоскости имеет вид:

$$\begin{aligned}
 m_n \ddot{z} + 2k_{a_i} (z - ql_i - x_1) + 2c_{p_i} (z - ql_i - x_1) + \\
 + 2k_{a_2} \left( z - \frac{x_2 + x_3}{2} - \frac{l_2 + l_3}{2} \varphi \right) + \\
 + 2c_{p_2} \left( z - \frac{x_2 + x_3}{2} - q \frac{l_2 + l_3}{2} \right) = 0;
 \end{aligned}$$

$$\begin{aligned}
 J_y \ddot{\varphi} + 2k_{a_1} l_1 \left( z - \frac{l_2 + l_3}{2} \varphi - x_1 \right) + \\
 + 2c_{p_1} l_1 \left( z - q \frac{l_2 + l_3}{2} - x_1 \right) + \\
 + 2k_{a_2} \frac{l_2 + l_3}{2} \left( z - \frac{l_2 + l_3}{2} \varphi - \frac{x_2 + x_3}{2} \right) + \\
 + 2c_{p_2} \frac{l_2 + l_3}{2} \left( z - q \frac{l_2 + l_3}{2} - \frac{x_2 + x_3}{2} \right) = 0;
 \end{aligned}$$

$$\begin{aligned}
 m_{k_1} \ddot{x}_1 - 2k_{a_1} (z - ql_i - x_1) - \\
 - 2c_{p_i} (z - ql_i - x_1) + 2c_{u_i} (x_1 - q_1) = 0;
 \end{aligned} \tag{5}$$

$$\begin{aligned}
 (m_2 + m_3) \frac{\ddot{x}_2 + \ddot{x}_3}{2} - 2(k_{a_2} + k_{a_3}) \times \\
 \times \left( z - \frac{l_2 + l_3}{2} \varphi - \frac{x_2 + x_3}{2} \right) - \\
 - c_{u_{2(3)}} (x_2 + x_3 - q_2 - q_3) + \\
 + 2c_{p_{2(3)}} \left( z - \frac{l_2 + l_3}{2} q - \frac{x_2 + x_3}{2} \right) = 0;
 \end{aligned}$$

$$\begin{aligned}
 J_{\sigma_i} \ddot{\varphi}_{\sigma} + m_{k_2} \frac{l_3 - l_2}{2} + m_{k_3} \frac{l_3 - l_2}{2} + \\
 + c_{u_{2(3)}} (x_2 - q_2) \frac{l_3 - l_2}{2} + \\
 + c_{u_{2(3)}} (x_3 - q_3) \frac{l_3 - l_2}{2} = 0,
 \end{aligned}$$

где  $J_{\delta}$ ,  $q_{\delta}$  - момент инерции и угол поворота балансирной подвески;  $m_{k_i}$  - масса моста с колесами.

Решение систем уравнений (4) и (5) позволяет найти перемещения, скорости и ускорения подрессоренной массы по координатам  $x$ ,  $y$  и  $z$ . При этом продольные и поперечные перемещения, скорости и ускорения, как это следует из приведенных уравнений, зависят от величины угловых перемещений  $q_{\delta}$  и  $u_n$ .

С достаточным приближением колебания передней и задней частей колесной машины можно считать несвязанными, т.е. полагать, что  $J_y/m_n = l$ .

В этом случае колебательная система сводится к одноопорной, двухмассовой схеме, для которой свободная частота подрессоренной массы равна

$$w_n = \sqrt{\frac{g}{h_{cm}}},$$

а свободная частота неподрессоренной массы равна

$$w_{nn} = \sqrt{\frac{gk_{nn}}{h_{cm}}},$$

где  $h_{cm}$  - статический ход подвески;  $k_{nn} \approx 0,1 \dots 0,2$ .

Частотные характеристики  $w_n$  и  $w_{nn}$  существенно влияют на показатели плавности хода, и поэтому при конструировании стремятся обеспечить их оптимальные значения ( $w_n = 0,8 \dots 1,5$  Гц;  $w_{nn} = 7 \dots 12$  Гц).

#### Список литературы

1. Энциклопедия «Машиностроение». Ред. совет К. В. Фролов и др., т. IV-15 / Под общей редакцией В. Ф. Платонова. - М.: «Колесные и гусеничные машины», 1997.

## SPATIAL FLUCTUATIONS MODEL AND AVERAGE SPEED LIMIT IN DEPENDANCE OF THE VIBRATION INTENSITY CONDITIONS

© 2006 M. A. Karunin

Moscow State Technical University «MAMI»

The article contains description of a spatial model of machine fluctuations considering the fluctuations both in longitudinal and diametrical planes. As a result of an equations set displacement, speed and accelerations of the spring weight of the machine are defined. Acceptable average speed is limited by the vibration intensity conditions.